

01;03

## О капиллярной устойчивости цилиндрической струи диэлектрической жидкости в продольном электростатическом поле

© С.О. Ширяева

Ярославский государственный университет им. П.Г. Демидова,  
150000 Ярославль, Россия  
e-mail: shir@uniyar.ac.ru

(Поступило в Редакцию 2 марта 2009 г. В окончательной редакции 28 мая 2009 г.)

Выведено и проанализировано дисперсионное уравнение для капиллярных волн с произвольной симметрией (с произвольными азимутальными числами) на поверхности цилиндрической струи идеальной несжимаемой диэлектрической жидкости в коллинеарном оси симметрии струи электростатическом поле. Показано, что капиллярную неустойчивость в такой системе могут претерпевать только длинные осесимметричные волны. Ширина диапазона волновых чисел неустойчивых волн, начинающегося с нулевого значения, зависит от диэлектрической проницаемости жидкости и внешней среды и квадрата напряженности электростатического поля. С ростом напряженности поля ширина диапазона волновых чисел неустойчивых волн быстро уменьшается, как и величина инкремента капиллярной неустойчивости, а также значение волнового числа волны, обладающей максимальным инкрементом.

### Введение

Феномен капиллярного распада струй жидкости находится в поле внимания исследователей с середины XIX в. и при различных усложняющих проблему внешних условиях изучен достаточно подробно в связи с многочисленными приложениями (см., например, [1–6] и указанную там литературу). Из общефизических соображений известно, что любая изолированная система стремится занять положение с минимальной потенциальной энергией. Поэтому фиксированный объем жидкости, ограниченный свободной поверхностью с формой, отличной от сферической и подверженной действию сил поверхностного натяжения, в отсутствие внешних силовых полей будет стремиться принять сферическую форму, обладающую минимальной площадью свободной поверхности, обеспечивающую минимальность потенциальной энергии капиллярных сил. Сказанное относится и к цилиндрической струе жидкости, которая будет неустойчивой по отношению к капиллярному разбиению на капли.

Первое строгое аналитическое исследование устойчивости цилиндрической струи идеальной несжимаемой жидкости по отношению к поверхностным капиллярным цилиндрическим осесимметричным волнам бесконечно малой (тепловой [7]) амплитуды выполнено в конце XIX в. Рэлеем [1,2]. Рассматривая амплитуды цилиндрических капиллярных осесимметричных волн в качестве нормальных координат колебательных системы с бесконечно большим количеством степеней свободы, он составил функцию Лагранжа колебательной системы и выписал систему независимых уравнений Лагранжа для различных волновых чисел. Анализ полученной системы уравнений Лагранжа позволил исследовать устойчивость

струи по отношению к капиллярным волнам различной длины. В частности, Рэлей показал, что цилиндрическая струя неустойчива по отношению к длинным осесимметричным капиллярным волнам с волновыми числами, удовлетворяющими соотношению:  $kR < 1$ , где  $R$  — радиус струи. Более короткие волны могут беспрепятственно распространяться по струе. Неосесимметричные волны (т.е. волны с азимутальными числами, отличными от нуля) на разряженной поверхности струи всегда устойчивы.

Появление на поверхности электропроводной струи электрического заряда приводит к проявлению неустойчивости и неосесимметричных волн, а также к некоторому расширению спектра неустойчивых осесимметричных волн в область более коротких длин волн [5]. Если незаряженную струю диэлектрической жидкости поместить в коллинеарное ей внешнее электрическое поле, то, как показано в [8–10], оно увеличит устойчивость осесимметричных капиллярных волн на поверхности струи за счет смещения правой границы области устойчивости в сторону более длинных волн. Это вывод был подтвержден в работах [11–13], выполненных для вязкой жидкости с учетом эффекта релаксации электрического заряда, проведенного, однако, не без погрешностей [14]. Феномен стабилизации осесимметричных капиллярных волн продольным электрическим полем представляет значительный интерес в связи с попытками физической трактовки многочисленных режимов электродиспергирования жидкости, наблюдаемых экспериментально [5]. Тем не менее обсуждаемый феномен исследован недостаточно полно. В классической ситуации осесимметричных волн ранее выполненные исследования [8–13] не дают исчерпывающей физической картины его реализации. Исследование влияния продольного электрического поля на устойчивость неосесимметричных волн

на поверхности струи, возбуждение которых приводит к проявлению изгибной неустойчивости [5], в реальности только начинается.

В настоящей работе будет исследована устойчивость поверхностных волн с произвольной симметрией во внешнем электростатическом поле, коллинеарном оси симметрии невозмущенной цилиндрической струи, при различных соотношениях диэлектрических проницаемостей жидкости и окружающей среды.

## 1. Постановка задачи

Пусть имеется бесконечная, движущаяся параллельно однородному электростатическому полю  $\mathbf{E}_0$  с постоянной скоростью  $\mathbf{U}_0$  (т.е.  $\mathbf{U}_0 \parallel \mathbf{E}_0$ ) цилиндрическая струя идеальной несжимаемой диэлектрической жидкости с массовой плотностью  $\rho$ , диэлектрической проницаемостью  $\varepsilon_{\text{in}}$  и коэффициентом поверхностного натяжения  $\gamma$ , имеющая радиус  $R$ . Диэлектрическая проницаемость внешней среды  $\varepsilon_{\text{ex}}$ .

Для упрощения задачи перейдем в инерциальную систему координат, движущуюся вместе со струей с такой же скоростью  $\mathbf{U}_0$ . В такой системе отсчета поле скоростей течения жидкости в струе  $\mathbf{U}(\mathbf{r}, t)$  полностью определяется возможными (имеющими, например, тепловую природу) капиллярными волнами на ее поверхности и в безразмерных переменных  $\rho = \gamma = R = 1$ , в которых будет проведено все рассмотрение, является параметром такого же порядка малости, что и амплитуда волн. Движение жидкости будем принимать потенциальным, т.е.  $\mathbf{U}(\mathbf{r}, t) \equiv \nabla\psi(\mathbf{r}, t)$ , где  $\psi(\mathbf{r}, t)$  — потенциал поля скоростей волнового движения жидкости. Зададимся целью исследовать критические условия реализации неустойчивости капиллярных волн на поверхности такой струи.

Весь анализ проведем в цилиндрической системе координат  $\{r, \varphi, z\}$  с осью  $OZ$ , орт  $\mathbf{n}_z$  которой совпадает по направлению с осью симметрии цилиндрической струи, и направлен вдоль вектора скорости  $\mathbf{U}_0$ . Уравнение свободной поверхности струи, возмущенной тепловым капиллярным волновым движением, т.е. имеющим размерные амплитуды  $\sim \sqrt{\kappa T/\gamma}$ , где  $\kappa$  — постоянная Больцмана;  $T$  — абсолютная температура [7], запишем в виде:

$$F(r, \varphi, z, t) = r - (1 + \xi(\varphi, z, t)) = 0.$$

В этом соотношении  $\xi(\varphi, z, t)$  — возмущение цилиндрической поверхности струи, вызванное капиллярным волновым движением.

Математическая формулировка задачи о расчете капиллярного волнового течения жидкости в струе идеальной несжимаемой жидкости состоит из уравнений гидродинамики и электростатики (в предположении, что скорость движения жидкости много меньше релятивистской), т.е.  $\mathbf{E}_j = -\nabla\Phi_j(\mathbf{r}, t)$ ,  $j \in \{\text{in}; \text{ex}\}$ :

$$\Delta\psi(\mathbf{r}, t) = 0; \quad \Delta\Phi_{\text{in}}(\mathbf{r}, t) = 0; \quad \Delta\Phi_{\text{ex}}(\mathbf{r}, t) = 0$$

с граничными условиями

$$r = 1 + \xi: \quad \frac{dF}{dt} \equiv \frac{\partial F}{\partial t} + \nabla\psi \cdot \nabla F = 0;$$

$$P_{\text{in}} - P_{\text{ex}} + P_E = P_\gamma;$$

$$\varepsilon_{\text{in}}[\mathbf{n} \cdot \nabla\Phi_{\text{in}}(\mathbf{r}, t)] = \varepsilon_{\text{ex}}[\mathbf{n} \cdot \nabla\Phi_{\text{ex}}(\mathbf{r}, t)];$$

$$\boldsymbol{\tau} \cdot \nabla\Phi_{\text{in}}(\mathbf{r}, t) = \boldsymbol{\tau} \cdot \nabla\Phi_{\text{ex}}(\mathbf{r}, t);$$

$$r \rightarrow 0: \quad \nabla\psi(\mathbf{r}, t) \rightarrow 0; \quad \Phi_{\text{in}}(\mathbf{r}, t) < \infty;$$

$$r \rightarrow \infty: \quad -\nabla\Phi_{\text{ex}}(\mathbf{r}, t) = \mathbf{E}_0.$$

Здесь  $\boldsymbol{\tau}$  и  $\mathbf{n}$  — единичные векторы касательной и нормали к возмущенной поверхности струи;  $\Phi_{\text{in}}(\mathbf{r}, t)$  и  $\Phi_{\text{ex}}(\mathbf{r}, t)$  — электростатические потенциалы в струе и в среде соответственно;  $P_{\text{ex}}$  — давление во внешней среде;

$$P_{\text{in}}(\mathbf{r}, t) \equiv P_{\text{in}}^{(0)} - \frac{\partial\psi(\mathbf{r}, t)}{\partial t} - \frac{1}{2} (\nabla\psi(\mathbf{r}, t))^2$$

— поле давлений внутри струи;  $P_{\text{in}}^{(0)}$  — постоянное давление в цилиндрической струе в отсутствие волнового движения в ней;  $P_\gamma \equiv \text{div}\mathbf{n}$  — давление сил поверхностного натяжения;  $P_E$  — давление электрического поля на поверхность капли:

$$P_E = -\frac{\varepsilon_{\text{ex}}}{8\pi} [(\nabla\Phi_{\text{ex}})^2 - 2(-\mathbf{n} \cdot \nabla\Phi_{\text{ex}})^2] + \frac{\varepsilon_{\text{in}}}{8\pi} [(\nabla\Phi_{\text{in}})^2 - 2(\mathbf{n} \cdot \nabla\Phi_{\text{in}})^2].$$

Кроме выписанных условий должно выполняться требование постоянства объема участка струи, длина которого равна длине волны  $\lambda$ :

$$\int_{z_0}^{z_0+\lambda} \int_0^{1+\xi} \int_0^{2\pi} dz r dr d\varphi = \pi\lambda.$$

## 2. Разбиение по порядкам малости

Малым параметром сформулированной задачи является безразмерная амплитуда волновой деформации поверхности струи  $\varepsilon \equiv \max|\xi(\varphi, z, t)|$ . Искомые функции деформации поверхности  $\xi(\varphi, z, t)$  и гидродинамический потенциал волнового течения жидкости в струе  $\psi(\mathbf{r}, t)$  является малым первого порядка по  $\varepsilon$ . Потенциалы электростатического поля  $\Phi_{\text{in}}(\mathbf{r}, t)$  и  $\Phi_{\text{ex}}(\mathbf{r}, t)$  содержат и слагаемые нулевого порядка малости, и их можно представить в виде:

$$\Phi_{\text{in}}(\mathbf{r}, t) \equiv \Phi_{\text{in}}^{(0)}(\mathbf{r}, t) + \phi_{\text{in}}(\mathbf{r}, t);$$

$$\Phi_{\text{ex}}(\mathbf{r}, t) \equiv \Phi_{\text{ex}}^{(0)}(\mathbf{r}, t) + \phi_{\text{ex}}(\mathbf{r}, t);$$

где  $\Phi_{\text{in}}^{(0)}(\mathbf{r}, t)$  и  $\Phi_{\text{ex}}^{(0)}(\mathbf{r}, t)$  — слагаемые нулевого порядка малости по  $\varepsilon$ , а  $\phi_{\text{in}}(\mathbf{r}, t)$  и  $\phi_{\text{ex}}(\mathbf{r}, t)$  — первого. В этой связи сформулированную задачу следует разбить по порядкам малости.

### 2.1. Нулевой порядок малости

В нулевом порядке малости по  $\varepsilon$  будем иметь невозмущенный волновым движением цилиндр в коллинеарном его оси электростатическом поле. Это означает, что гидродинамических движений не будет, а оставшиеся искомые величины не будут зависеть от координат  $r$  и  $\varphi$  цилиндрической системы координат. В итоге получим задачу

$$\frac{\partial^2 \Phi_{\text{in}}^{(0)}(\mathbf{r}, t)}{\partial z^2} = 0; \quad \frac{\partial^2 \Phi_{\text{ex}}^{(0)}(\mathbf{r}, t)}{\partial z^2} = 0$$

с граничными условиями

$$r = 1: \quad \frac{\partial \Phi_{\text{in}}^{(0)}(\mathbf{r}, t)}{\partial z} = \frac{\partial \Phi_{\text{ex}}^{(0)}(\mathbf{r}, t)}{\partial z};$$

$$(P_{\text{in}}^{(0)} - P_{\text{ex}}^{(0)}) + \frac{(\varepsilon_{\text{in}} - \varepsilon_{\text{ex}})}{8\pi} \left( \frac{\partial \Phi_{\text{in}}^{(0)}}{\partial z} \right)^2 = 1;$$

$$r \rightarrow 0: \quad \Phi_{\text{in}}(\mathbf{r}, t) < \infty;$$

$$r \rightarrow \infty: \quad -\nabla \Phi_{\text{ex}}^{(0)}(\mathbf{r}, t) = \mathbf{E}_0;$$

$$\int_{z_0}^{z_0+\lambda} \int_0^1 \int_0^{2\pi} dz r dr d\varphi = \pi \lambda.$$

Решение этой задачи находится легко:

$$\Phi_{\text{in}}^{(0)}(\mathbf{r}, t) = -E_0 z; \quad \Phi_{\text{ex}}^{(0)}(\mathbf{r}, t) = -E_0 z;$$

$$\Delta P \equiv (P_{\text{in}}^{(0)} - P_{\text{ex}}) = 1(\varepsilon_{\text{in}} - \varepsilon_{\text{ex}}) \frac{E_0^2}{8\pi}.$$

### 2.2. Первый порядок малости

В первом порядке малости по  $\varepsilon$  будем иметь задачу

$$\Delta \psi(\mathbf{r}, t) = 0; \quad \Delta \phi_{\text{in}}(\mathbf{r}, t) = 0; \quad \Delta \phi_{\text{ex}}(\mathbf{r}, t) = 0$$

с граничными условиями

$$r = 1: \quad \frac{\partial \xi}{\partial t} = \frac{\partial \psi}{\partial r};$$

$$-\frac{\partial \psi}{\partial t} + \frac{(\varepsilon_{\text{in}} - \varepsilon_{\text{ex}})}{8\pi} \left[ 2 \frac{\partial \Phi_{\text{ex}}^{(0)}}{\partial z} \frac{\partial \phi_{\text{ex}}}{\partial z} - \left( 1 - \frac{\varepsilon_{\text{ex}}}{\varepsilon_{\text{in}}} \right) \times \left( \frac{\partial \phi_{\text{ex}}}{\partial r} - \frac{\partial \Phi_{\text{ex}}^{(0)}}{\partial z} \frac{\partial \xi}{\partial z} \right) \right] = - \left[ \xi + \frac{\partial^2 \xi}{\partial z^2} + \frac{\partial^2 \xi}{\partial \varphi^2} \right];$$

$$\varepsilon_{\text{in}} \left[ \frac{\partial \phi_{\text{in}}(\mathbf{r}, t)}{\partial r} - \frac{\partial \Phi_{\text{in}}^{(0)}}{\partial z} \frac{\partial \xi}{\partial z} \right] = \varepsilon_{\text{ex}} \left[ \frac{\partial \phi_{\text{ex}}(\mathbf{r}, t)}{\partial r} - \frac{\partial \Phi_{\text{ex}}^{(0)}}{\partial z} \frac{\partial \xi}{\partial z} \right];$$

$$\frac{\partial \phi_{\text{in}}(\mathbf{r}, t)}{\partial z} = \frac{\partial \phi_{\text{ex}}(\mathbf{r}, t)}{\partial z}; \quad \frac{\partial \phi_{\text{in}}(\mathbf{r}, t)}{\partial \varphi} = \frac{\partial \phi_{\text{ex}}(\mathbf{r}, t)}{\partial \varphi};$$

$$r \rightarrow 0: \quad \nabla \psi(\mathbf{r}, t) \rightarrow 0; \quad |\nabla \phi_{\text{in}}(\mathbf{r}, t)| \rightarrow 0;$$

$$r \rightarrow \infty: \quad |\nabla \phi_{\text{ex}}(\mathbf{r}, t)| \rightarrow 0;$$

$$\int_{z_0}^{z_0+\lambda} \int_0^{2\pi} \xi(z, \varphi, t) dz d\varphi = 0.$$

Решение задачи первого порядка малости для неизвестных функций  $\xi(\varphi, z, t)$ ,  $\psi(\mathbf{r}, t)$ ,  $\phi_{\text{in}}(\mathbf{r}, t)$  и  $\phi_{\text{ex}}(\mathbf{r}, t)$  будем искать в виде разложений по бегущим цилиндрическим волнам в виде

$$\xi(\varphi, z, t) = \int_0^\infty \sum_{m=0}^\infty C_m^{(1)} \exp(im\varphi) \exp(ikz) \exp(-i\omega t) dk;$$

$$\psi(\mathbf{r}, t) = \int_0^\infty \sum_{m=0}^\infty C_m^{(2)} I_m(kr) \exp(im\varphi) \exp(ikz) \exp(-i\omega t) dk;$$

$$\phi_{\text{in}}(\mathbf{r}, t) = \int_0^\infty \sum_{m=0}^\infty C_m^{(3)} I_m(kr) \exp(im\varphi) \exp(ikz) \exp(-i\omega t) dk;$$

$$\phi_{\text{ex}}(\mathbf{r}, t) = \int_0^\infty \sum_{m=0}^\infty C_m^{(4)} K_m(kr) \exp(im\varphi) \times \exp(ikz) \exp(-i\omega t) dk,$$

где  $i$  — мнимая единица;  $k$  и  $\omega$  — волновое число и циклическая частота волны;  $m$  — азимутальный параметр;  $I_m(kr)$  и  $K_m(kr)$  — модифицированные функции Бесселя первого и второго рода соответственно.

### 3. Дисперсионное уравнение

Подставляя выписанные проекты решений в систему граничных условий, из условия совместности получившейся системы алгебраических уравнений относительно неизвестных коэффициентов разложений  $C_m^{(l)}$ , где  $l = 1, 2, 3, 4$ , несложно получить дисперсионное уравнение задачи, которое выписывается достаточно компактно:

$$\omega_m^2(k, \varepsilon_{\text{in}}, \varepsilon_{\text{ex}}, w) = F_m(k) \left\{ k^2 + m^2 - 1 + w \frac{(\varepsilon_{\text{in}} - \varepsilon_{\text{ex}})^2 k^2}{\varepsilon_{\text{in}} F_m(k) + \varepsilon_{\text{ex}} D_m(k)} \right\}; \quad (1)$$

$$w \equiv \frac{E_0^2}{4\pi}; \quad F_m(k) \equiv k \frac{I_{m+1}(k)}{I_m(k)} + m;$$

$$D_m(k) \equiv k \frac{K_{m+1}(k)}{K_m(k)} - m.$$

Положив  $m = 0$ , несложно получить дисперсионное уравнение для осесимметричных капиллярных волн на поверхности незаряженной струи идеальной несжимаемой диэлектрической жидкости в однородном электростатическом поле, приведенное в [8–10]:

$$\omega_0^2(k, \varepsilon_{\text{in}}, \varepsilon_{\text{ex}}, w) = F_0(k) \left\{ k^2 + w \frac{(\varepsilon_{\text{in}} - \varepsilon_{\text{ex}})^2 k^2}{\varepsilon_{\text{in}} F_0(k) + \varepsilon_{\text{ex}} D_0(k)} - 1 \right\}. \quad (2)$$

#### 4. Анализ полученных результатов

Волна с заданными значениями волнового  $k$  и азимутального  $m$  чисел претерпевает неустойчивость, когда  $\omega_m^2(k, \varepsilon_{in}, \varepsilon_{ex}, w)$  — квадрат ее частоты — проходит через нуль и становится отрицательным. При этом частоты принимают мнимые значения, и амплитуда одной из волн, для которой  $\omega_m(k, \varepsilon_{in}, \varepsilon_{ex}, w) \equiv i\eta(k, \varepsilon_{in}, \varepsilon_{ex}, w)$ , начинает экспоненциально нарастать со временем с инкрементом  $\eta(k, \varepsilon_{in}, \varepsilon_{ex}, w)$ .

В дисперсионном уравнении (1) функциональные множители  $F_m(k)$  и  $D_m(k)$  являются вещественными положительными при произвольных  $k$  и  $m$ . Это означает, что при  $m \geq 1$  правая часть (1) всегда положительная, частоты  $\omega_m(k, \varepsilon_{in}, \varepsilon_{ex}, w)$  вещественны и, следовательно, струя устойчива по отношению к неосесимметричным волновым возмущениям ее поверхности. Для  $m = 0$  приходим к дисперсионному уравнению (2), имеющему мнимые решения для малых значений волновых чисел (для длинных волн), удовлетворяющих условию:

$$k^2 + w \frac{(\varepsilon_{in} - \varepsilon_{ex})^2 k^2}{\varepsilon_{in} F_0(k) + \varepsilon_{ex} D_0(k)} < 1. \quad (3)$$

В указанном диапазоне волновых чисел струя претерпевает осесимметричную капиллярную неустойчивость. Несложно видеть, что в отсутствие электрического поля (при  $w = 0$ ) диапазон волновых чисел неустойчивых осесимметричных волн определяется условием:  $0 < k < 1$ , как и было получено для незаряженной струи при отступлении электрического поля Рэлеем [1–2].

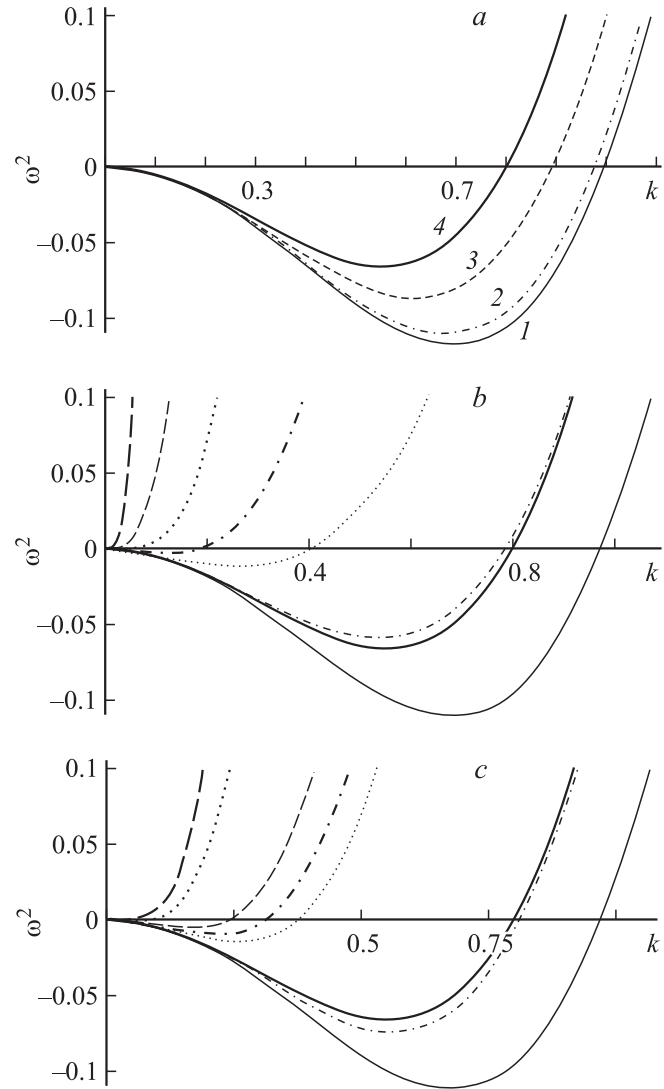
На рис. 1 приведены результаты численного расчета по дисперсионному уравнению (2) зависимости квадрата частоты  $\omega^2$  осесимметричных волн от волнового числа  $k$  при различных значениях параметров  $w$ ,  $\varepsilon_{in}$  и  $\varepsilon_{ex}$ . Несложно видеть, что с увеличением параметра  $w$ , пропорционального квадрату напряженности электрического поля, а также с увеличением диэлектрической проницаемости жидкости  $\varepsilon_{in}$  и внешней среды  $\varepsilon_{ex}$  ширина диапазона волновых чисел волн, претерпевающих неустойчивость, сужается.

Если выражение (3) переписать в виде

$$k^2 + w \frac{(\varepsilon_{in} - \varepsilon_{ex})^2 k^2}{\varepsilon_{in} F_0(k) + \varepsilon_{ex} D_0(k)} - 1 = 0$$

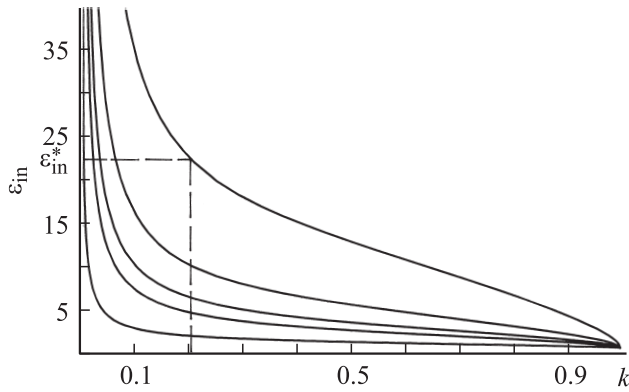
и выразить из него, например,  $\varepsilon_{in}$  как функцию от остальных физических параметров  $\varepsilon_{in} = \varepsilon_{in}(k, w, \varepsilon_{ex})$ , то по полученному соотношению можно также исследовать зависимость ширины диапазона волновых чисел неустойчивых волн от физических параметров системы.

На рис. 2 приведены зависимости  $\varepsilon_{in} = \varepsilon_{in}(k)$ , построенные при  $\varepsilon_{ex} = 1$  и различных значениях параметра  $w$ . Видно, что для фиксированного значения  $\varepsilon_{in} = \varepsilon_{in}^* \equiv \text{const}$  ширина диапазона волновых чисел неустойчивых волн определится точкой пересечения графика  $\varepsilon_{in} = \varepsilon_{in}(k)$ , построенного при  $w = w_* \equiv \text{const}$ , с прямой, параллельной оси абсцисс,  $\varepsilon_{in} = \varepsilon_{in}^* \equiv \text{const}$ .

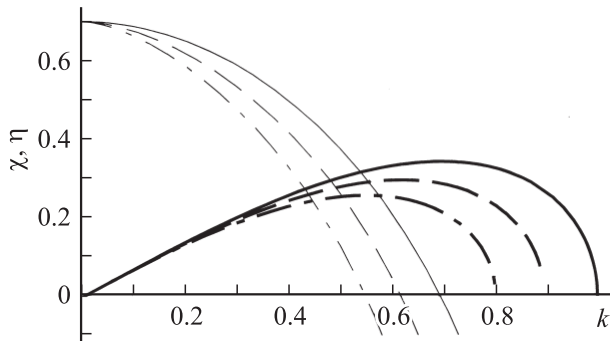


**Рис. 1.** Зависимости квадрата безразмерной частоты  $\omega^2$  осесимметричных волн от безразмерного волнового числа  $k$  при различных значениях физических параметров. *a* —  $\varepsilon_{in} = 2$ ;  $\varepsilon_{ex} = 1$ . Параметр  $w$  принимает различные значения:  $w = 0$  — тонкая кривая; 0.1 — штрихпунктир; 0.5 — пунктир; 1 — жирная кривая. *b* —  $\varepsilon_{ex} = 1$ . Параметр  $w$  принимает два значения:  $w = 0.1$  — тонкие кривые; 1 — жирные. Параметр  $\varepsilon_{in}$  принимает четыре различных значения:  $\varepsilon_{in} = 2$  — сплошные кривые; 5 — штрихпунктир; 10 — точечные кривые; 100 — пунктир. *c* —  $\varepsilon_{in} = 2$ . Параметр  $w$  принимает два значения:  $w = 0.1$  — тонкие кривые; 1 — жирные. Параметр  $\varepsilon_{ex}$  принимает четыре различных значения:  $\varepsilon_{ex} = 1$  — сплошные кривые; 10 — штрихпунктир; 50 — точечные кривые; 100 — пунктир.

Несмотря на то что капиллярную неустойчивость могут претерпевать сразу бесконечное число волн с волновыми числами из непрерывного конечного диапазона значений, реальная картина дробления струи на капли определяется одной волной, обладающей при прочих равных условиях максимальным инкрементом неустойчивости [15].



**Рис. 2.** Зависимости  $\varepsilon_{in} = \varepsilon_{in}(k)$ , построенные при  $\varepsilon_{ex} = 1$  и различных значениях параметра  $w$ :  $w \in \{0.05; 0.2; 0.5; 1; 10\}$ . Кривые расположены в порядке изменения параметра  $w$ : верхняя кривая соответствует  $w = 0.05$ , нижняя — 10.

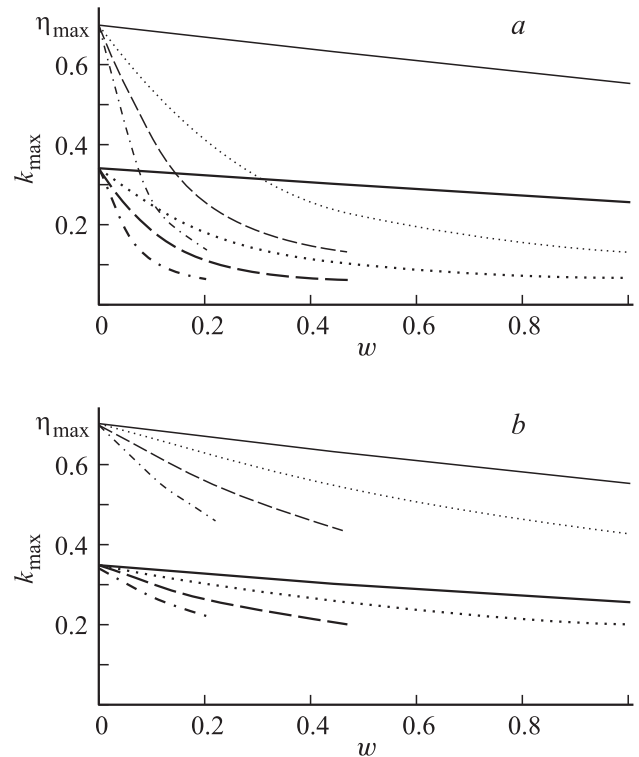


**Рис. 3.** Зависимости величины безразмерного инкремента неустойчивости осесимметричных волн  $\eta$  от безразмерного волнового числа — жирные кривые, и его производной по волновому числу  $\chi \equiv (\partial\eta/\partial k)$  — тонкие кривые, рассчитанные при  $\varepsilon_{ex} = 1$ ,  $\varepsilon_{in} = 2$  и различных значениях  $w$ :  $w = 0$  — сплошные кривые; 0.5 — пунктир; 1 — штрихпунктир.

На рис. 3 приведены зависимости от волнового числа величины инкремента неустойчивости осесимметричных волн  $\eta$  и его производной по волновому числу  $\chi \equiv (\partial\eta/\partial k)$ , рассчитанные по (2) при заданных значениях диэлектрических проницаемостей и различных значениях параметра  $w$ . Условие  $\chi \equiv (\partial\eta/\partial k) = 0$  позволяет найти волновые числа, соответствующие максимальным значениям инкремента. Несложно видеть, что с ростом параметра  $w$  (с ростом величины напряженности электростатического поля) уменьшаются как значения инкрементов, так и волновые числа волн с максимальной скоростью нарастания амплитуды. Другими словами, с увеличением напряженности продольного электростатического поля длины наиболее неустойчивых волн растут, а инкременты их неустойчивости снижаются. Данное обстоятельство позволяет объяснить особенности электродиспергирования жидкости в веретенообразном режиме [16,17].

Следует отметить, что в феномене электродиспергирования жидкости экспериментально наблюдается более десятка различных режимов [5,16–19], теоретическое осознание которых не до конца завершено. В устройствах для электродиспергирования жидкость подается в разрядную систему по металлическому капилляру, на торце которого образуется примерно полусферoidalный мениск жидкости. Электрическое поле между капилляром и противоэлектродом вытягивает из мениска струйку жидкости [20,21], которая и распадается на отдельные капли. Вытягиваемая струйка сужается по мере удаления от торца капилляра, а отрыв капелек имеет место с тонкого конца струйки. В веретенообразном режиме электродиспергирования иногда наблюдается одновременный разрыв струйки в сечениях разного диаметра: непосредственно у вершины мениска, где радиус струйки велик, и на тонком ее конце, где он мал [16,17]. Для теоретического истолкования такого феномена как раз и можно привлечь результаты проведенного в настоящей работе анализа.

На рис. 4 приведены зависимости от параметра  $w$  величин: волнового числа волны, обладающей максимальным инкрементом  $k_{max}$ , и самого максимального



**Рис. 4.** Зависимости от параметра  $w$  величин: волнового числа волны, обладающей максимальным инкрементом  $k_{max}$  — тонкие кривые, и самого максимального инкремента  $\eta_{max}$  — толстые кривые, рассчитанные при: *a* —  $\varepsilon_{ex} = 1$  и различных значениях  $\varepsilon_{in}$ :  $\varepsilon_{in} = 2$  — сплошные кривые; 5 — точечные, 7 — пунктир; 10 — штрихпунктир. *b* —  $\varepsilon_{in} = 2$  и различных значениях  $\varepsilon_{ex}$ :  $\varepsilon_{ex} = 1$  — сплошные кривые; 5 — точечные, 7 — пунктир; 10 — штрихпунктир.

инкремента  $\eta_{\max}$ , рассчитанные при: рис. 4, *a* — фиксированном значении  $\varepsilon_{\text{ex}} = 1$  и различных значениях  $\varepsilon_{\text{in}}$ ; рис. 4, *b* — фиксированном значении  $\varepsilon_{\text{in}} = 1$  и различных значениях  $\varepsilon_{\text{ex}}$ . Видно, что и волновые числа и значения инкрементов убывают с ростом  $w$  и величины диэлектрических проницаемостей.

В проведенном рассмотрении значения параметра  $w$ , как правило, брались малыми. Причина этого состоит в том, что, например, значение параметра  $w = 1$  соответствует размерной напряженности электростатического поля  $E_0 = 2\sqrt{\pi\gamma/R}$ . Для струи воды радиусом  $R = 400 \mu\text{m}$  при  $\gamma = 72 \text{ dyne/cm}$  это соответствует  $E_0 \approx 150 \text{ CGSE} = 45 \text{ kV/cm}$ . Такая напряженность электростатического поля существенно превышает напряжение электрического пробоя воздуха в постоянном однородном электрическом поле при атмосферном давлении, которое, согласно [22], составляет  $\approx 26 \text{ kV/cm}$ . Для струи этилового спирта того же радиуса при  $\gamma = 23 \text{ dyne/cm}$  получим:  $E_0 \approx 85 \text{ CGSE} = 25.5 \text{ kV/cm}$ .

В экспериментах по электродиспергированию используются жидкости, коэффициенты поверхностного натяжения которых изменяются в весьма широких пределах от  $\approx 2 \text{ dyne/cm}$  для жидкого водорода до  $\sim 1000 \text{ dyne/cm}$  для жидких полупроводников и окислов, а образующиеся при электродиспергировании струи имеют радиус  $\sim 20\text{--}1000 \mu\text{m}$  [5,16–19]. Значения параметра  $w \gg 1$  тем не менее также имеют смысл и могут характеризовать устойчивость струи в вакууме, например, в жидкометаллических источниках ионов [23] или в масс-спектрометрах для анализа нелетучих и термически нестойких веществ (например, органического происхождения) [24,25], когда используется электрогидродинамический способ подачи вещества.

## Заключение

В проведенном исследовании выяснилось, что продольное однородное электростатическое поле не вызывает неустойчивости неосесимметричных волн на поверхности струи, как это имеет место для радиального электростатического поля [26–28], и стабилизирует капиллярную неустойчивость осесимметричных волн. Стабилизация капиллярной неустойчивости проявляется в сужении диапазона неустойчивых волн (правая граница диапазона:  $0 < k^2 \leq 1$  волновых чисел, в котором реализуется капиллярная неустойчивость, с ростом  $w$  стремится к  $k^2 = 0$ ) и в снижении значений инкрементов неустойчивости. На характеристики стабилизации существенное влияние оказывают диэлектрические проницаемости окружающей среды и жидкости струи.

Работа выполнена в рамках тематического плана университета, при поддержке грантов губернатора Ярославской области, Рособразования № 2.1.1/3776, РФФИ № 09-01-00084 и 09-08-00148.

## Список литературы

- [1] *Strutt J.W. (Lord Rayleigh)* // Proc. London Math. Soc. 1878. Vol. 10. P. 4–13.
- [2] *Стретт Дж.В. (Лорд Рэлей)*. Теория звука. Т. 2. М.: Гостехиздат, 1955. 475 с.
- [3] *Ентов В.М., Ярин А.Л.* // ВИНТИ. Итоги науки и техники. Сер. „Механика жидкости и газа“. 1984. Т. 17. С. 112–197.
- [4] Монодиспергирование вещества: принципы и применение / Е.В. Аметистов, В.В. Блаженков, А.К. Городов и др.; Под ред. В.А. Григорьева. М.: Энергоатомиздат, 1991. 336 с.
- [5] *Ширяева С.О., Григорьев А.И., Волкова М.В.* Спонтанный капиллярный распад заряженных струй. Ярославль: Изд-во ЯРГУ, 2007. 340 с.
- [6] *Eggers J., Willermaux E.* // Rep. Prog. Phys. 2008. N 036 601. 79 p.
- [7] *Френкель Я.И.* // ЖЭТФ. 1936. Т. 6. № 4. С. 348–350.
- [8] *Naayur N.K., Murty G.S.* // Proc. Phys. Soc. 1960. Vol. 75. Pt. 3. N 483. P. 369–373.
- [9] *Глонти Г.А.* // ЖЭТФ. 1958. Т. 34. № 5. С. 1328–1330.
- [10] *Raco R.J.* // AIAA J. 1968. Vol. 6. N 5. P. 979–980.
- [11] *Saville D.A.* // J. Fluid. Mech. 1971. Vol. 48. N 4. P. 815–827.
- [12] *Mestel A.J.* // J. Fluid. Mech. 1996. Vol. 312. N 2. P. 311–326.
- [13] *Шутов А.А.* // Изв. РАН. МЖГ. 2006. № 6. С. 52–67.
- [14] *Белоножко Д.Ф., Григорьев А.И.* // ЖТФ. 2004. Т. 74. Вып. 11. С. 22–28.
- [15] *Левич В.Г.* Физико-химическая гидродинамика. М.: Физматгиз, 1959. 700 с.
- [16] *Cloupeau M., Prunet Foch B.* // J. Electrostatics. 1990. Vol. 25. P. 165–184.
- [17] *Jaworek A., Krupa A.* // J. Aerosol Sci. 1999. Vol. 30. N 7. P. 873–893.
- [18] *Shiryayeva S.O., Grigor'ev A.I.* // J. Electrostatics. 1995. Vol. 34. P. 51–59.
- [19] *Ширяева С.О., Григорьев А.И., Святченко А.А.* Классификация режимов работы электрогидродинамических источников ионов. Препринт ИМ РАН № 25. Ярославль, 1993. 118 с.
- [20] *Григорьев А.И.* // ЖТФ. 2007. Т. 77. Вып. 2. С. 31–40.
- [21] *Григорьев А.И., Пожарицкий Д.М.* // ЖТФ. 2008. Т. 78. Вып. 10. С. 40–46.
- [22] *Александров А.Ф., Бычков В.Л., Грачев Л.П.* и др. // ЖТФ. 2006. Т. 76. Вып. 3. С. 38–43.
- [23] *Григорьев А.И., Ширяева С.О.* // ЖТФ. 1992. Т. 62. Вып. 12. С. 9–20.
- [24] *Золотой Н.Б., Карнов Г.В., Скурат В.Е.* // 1988. ЖТФ. Т. 58. Вып. 2. С. 315–323.
- [25] *Ширяева С.О., Григорьев А.И.* // ЖТФ. 1993. Т. 63. Вып. 8. С. 162–170.
- [26] *Ширяева С.О., Григорьев А.И., Левчук Т.В., Рыбакова М.В.* // ЖТФ. 2003. Т. 73. Вып. 5. С. 5–12.
- [27] *Ширяева С.О., Григорьев А.И., Левчук Т.В.* // ЖТФ. 2003. Т. 73. Вып. 11. С. 22–30.
- [28] *Григорьев А.И., Воронина Н.В., Ширяева С.О.* // ЖТФ. 2008. Т. 78. Вып. 2. С. 33–41.